



DOI:10.3872/j.issn.1007-385x.2022.01.003

## · 基础研究 ·

## MLL5基因敲除对小鼠结肠癌CT26细胞移植瘤生长的影响及其机制

石秀珍,高玮,徐萍[上海交通大学医学院附属松江医院(筹) 消化内科,上海 201600]

**[摘要]** 目的:探讨混合谱系白血病5(MLL5)基因在小鼠结肠癌CT26细胞移植瘤生长中的作用及其分子机制。方法:利用CRISPR/Cas9技术构建MLL5基因缺失、MLL5和DDX58双基因缺失的结肠癌CT26细胞模型,用Sanger测序和WB法验证敲除效果。将基因敲除的CT26细胞接种到野生型BALB/c小鼠和免疫缺陷型NSG小鼠皮下,构建基因缺失结肠癌CT26细胞移植瘤小鼠模型,并观察移植瘤的生长及荷瘤小鼠的总生存期(OS)。结果:在野生型小鼠中,MLL5基因缺失的CT26细胞移植瘤生长速度显著性低于野生型癌细胞移植瘤,并延长荷瘤小鼠的OS( $P<0.01$ )。在NSG小鼠中,MLL5基因缺失对CT26细胞移植瘤的生长速度以及荷瘤小鼠的OS没有明显改变。MLL5基因缺失提高了癌细胞中视黄酸诱导基因1(RIG-1)蛋白水平,DDX58基因缺失可逆转MLL5基因缺失在CT26细胞移植瘤中的作用。结论:MLL5基因缺失可提高结肠癌CT26细胞中RIG-1蛋白水平、促进肿瘤免疫,从而抑制荷瘤小鼠肿瘤生长,提示MLL5可能成为结肠癌治疗的新靶点。

**[关键词]** 结肠癌;混合谱系白血病5;视黄酸诱导基因1;CT26细胞;肿瘤免疫;CRISPR/Cas9技术

[中图分类号] R735.3<sup>5</sup>; R730.54 [文献标识码] A [文章编号] 1007-385X(2022)01-0018-05

## Effect and mechanism of MLL5 knock-out on the growth of colon cancer CT26 cell transplanted tumor

SHI Xiuzhen, GAO Wei, XU Ping (Gastroenterology Department, Songjiang Hospital Affiliated to Shanghai Jiaotong University School of Medicine [Preparatory Stage], Shanghai 201600, China)

**[Abstract]** Objective: To investigate the effect of mixed lineage leukemia 5 (MLL5) gene on growth of colon cancer CT26 cell transplanted tumors in mice and its molecular mechanism. Methods: The colon cancer CT26 cell model with MLL5 gene deletion or double deletion of MLL5 and DDX58 (encoding RIG-1 gene) was constructed using CRISPR/Cas9 technology, and the knock-out efficiency was verified using Sanger sequencing and WB. Then, the constructed CT26 cells were inoculated into the scapular subcutaneous tissues of wild BALB/c mice and immunodeficient mice (NSG) to establish the gene-deficient CT26 cell transplanted tumor model. The tumor growth and the overall survival (OS) of tumor-bearing mice were observed. Results: In wild BALB/c mice, MLL5 gene depletion significantly slowed the tumor growth down and prolonged the OS of mice as compared with the mice transplanted with CT26 cells with normal MLL5 expression ( $P<0.01$ ). However, in immunodeficient NSG mice, MLL5 gene depletion had no significant effect on the tumor growth and OS of host mice. MLL5 knockout increased the protein level of retinoic acid inducible gene-1 (RIG-1) in cancer cells, while DDX58 gene deletion could reverse the effect of MLL5 knockout on CT26 cell transplanted tumors. Conclusion: MLL5 knockout can increase RIG-1 protein level in CT26 cells and promote tumor immunity to inhibit tumor growth in tumor-bearing mice, suggesting that MLL5 may become a new target for colon cancer treatment.

**[Key words]** colon cancer; mixed lineage leukemia 5 (MLL5); retinoic acid inducible gene-1 (RIG-1); CT 26 cell; tumor immunity; CRISPR/Cas9 technology

[Chin J Cancer Biother, 2022, 29(1): 18-22. DOI:10.3872/j.issn.1007-385x.2022.01.003]

混合谱系白血病5(mixed lineage leukemia 5, MLL5)基因属于TrxG基因家族,是重要的表观遗传学调控基因和人急性髓细胞性白血病的重要致病基因<sup>[1]</sup>。MLL5诱导组蛋白H3K4转移酶参与肿瘤的广泛生物学过程<sup>[2]</sup>。有研究结果<sup>[3-5]</sup>表明,MLL5基因缺失的小鼠会导致造血干细胞(hemopoietic stem cell, HSC)的自我更新能力受损,并引起HSC中DNA损伤和活性氧积累<sup>[6]</sup>。此外,MLL5在固有免疫中也起重要作用,参与视黄酸诱导基因1(retinoic acid inducible gene-1, RIG-1)蛋白和E3泛

素连接酶STUB1之间的相互作用,MLL5基因缺失直接减弱RIG-1和STUB1的相互作用,降低RIG-1泛素化,增加RIG-1蛋白表达水平<sup>[7]</sup>。有趣的是,RIG-1在结肠癌的肿瘤免疫中起重要作用,DDX58基因缺失后的黑色素瘤B16细胞和结肠癌CT26细胞抵抗CTLA-4单抗

[基金项目] 上海市卫生和计划生育委员会青年项目(No. 2019Y0462)

[作者简介] 石秀珍(1989—),女,硕士,住院医师,主要从事消化内科临床医学研究,E-mail: sxz20190917@163.com

[通信作者] 徐萍,E-mail: sjzxxp@yeah.net



治疗作用,而激活 RIG-1 可以显著缩小 B16 和 CT26 细胞移植瘤体积并延长荷瘤小鼠总生存期(OS)<sup>[8-10]</sup>。然而,MLL5 在结肠癌中的作用及其机制尚未明了。本研究利用 CRISPR/Cas9 基因编辑技术构建 MLL5 基因缺失及 MLL5 和 DDX58 双基因缺失的结肠癌 CT26 细胞模型,并将其接种到野生型 BALB/c 小鼠和免疫缺陷型 NSG 小鼠皮下,观察移植瘤的生长及荷瘤小鼠的 OS,以期确定 MLL5 在小鼠结肠癌及肿瘤免疫中的作用。

## 1 材料与方法

### 1.1 细胞系、实验动物及主要试剂

人胚肾上皮细胞系 293T 和小鼠结肠癌细胞系 CT26 购于中国科学院上海生命科学研究院细胞资源中心。6 周龄、雄性野生型 BALB/c 小鼠和 NSG 小鼠(动物合格证:20170005023369)购于上海斯莱克公司。

PBS 缓冲液、DMEM 高糖培养基、RPMI 1640 培养基、Opti-MEM 培养基、0.25% 胰蛋白酶、胎牛血清和青霉素-链霉素溶液均购于美国 Gibco 公司, FastDigest *Esp3 I*、转染试剂 Lipofectamine 2000 购于美国 Thermo 公司, 助慢病毒感染试剂聚凝胺 polybrene 购于美国 Sigma 公司, 无内毒素质粒中量提取试剂盒购于天根生化科技有限公司, pSPAX、pMD2.G、lentiCRISPRv2 和 lentiGuide-BSD 质粒购于美国 Addgene 公司, Stbl3 感受态购于唯地生物公司, 兔抗鼠 RIG-1 购于 Proteintech 公司, 兔抗鼠 MLL5 购于美国 Active Motif 公司, 兔抗鼠 β-actin 购于 Abclonal 公司, 荧光羊抗兔 IgG 二抗购于美国 LI-COR 公司。

### 1.2 CRISPR/Cas9 载体构建、包装和慢病毒合成及感染

利用 <http://crispr.mit.edu/> 网站在线工具, 设计靶向 MLL5 和 DDX58 的 sgRNA。MLL5-sgRNA1#引物序列: 上游为 5'-CACCGATGTAACCAGGTGCATATG-3', 下游为 5'-AAACCATATGCACCTGGTTACATC-3'; MLL5-sgRNA2# 引物序列: 上游为 5'-CACCGATGC TCATGACGTTCGCCTC-3', 下游为 5'-AAACGA GGCGAACGTCATGAGCATC-3'; DDX58-sgRNA1#引物序列: 上游为 5'-CACCGCGTTGGAGATGCT AAGACCG-3', 下游为 5'-AAACCGGTCTTAGCA TCTCCAACGC-3'; DDX58-sgRNA2#引物序列:上游为 5'-CACCGTCCGCCAGAGATGAACGAAG-3', 下游为 5'-AAACCTTCGTTCATCTCTGGCGGAC-3'; NTC-sgRNA 引物序列: 上游为 5'-CACCGGGGAGGTATT CGGCTCCGCG-3', 下游为 5'-AAACCGCGGAGCCGA ATACCTCGCC-3'。

LentiCRISPRv2 和 lentiGuide-BSD 慢病毒质粒经 *Esp3 I* 酶切后琼脂糖凝胶电泳回收, 磷酸化退火引

物, 将退火后的 MLL5-sgRNA、DDX58-sgRNA 和 NTC-sgRNA DNA 片段连接到 lentiCRISPRv2 或 lentiGuide-BSD 载体上。连接反应体系如下: 50 ng *Esp3 I* 酶切的 lentiCRISPRv2 或 lentiGuide-BSD 线性化质粒、0.1 pmol/L 磷酸化退火片段、5 μL 2×Quick DNA ligase(DNA 连接酶) Buffer、1 μL Quick DNA ligase 在室温连接 10 min<sup>[11]</sup>。连接产物转化 Stbl3 大肠杆菌感受态细胞并挑选阳性克隆测序验证。按照无内毒素质粒中量提取试剂盒说明书抽提质粒。

将 293T 细胞接种到 100 mm 培养皿(3×10<sup>6</sup> 个/皿), 置于 37 °C、5%CO<sub>2</sub> 培养箱中过夜。按照 Lipofectamine 2000 说明书进行转染, 每个培养皿的质粒用量为 7.5 μg lentiCRISPRv2 sgRNA 或 lentiGuide-BSD sgRNA 质粒、5 μg pSPAX2 和 2.5 μg pMD2.G, Lipofectamine 2000:质粒为 2:1。转染 24 h 时更换新鲜培养基, 48 h 后收集含有慢病毒的上清液。

### 1.3 基因敲除 CT26 细胞系的建立

将小鼠结肠癌 CT26 细胞置于含 10% 胎牛血清、100 U/mL 青霉素和 100 μg/mL 链霉素的 RPMI 1640 完全培养基中培养。将对数生长期的 CT26 细胞消化后, 接种到 24 孔板(3×10<sup>4</sup> 个/孔)中, 第 2 天吸去培养液, 加入用 RPMI 1640 完全培养基 1:1 稀释的 lentiCRISPRv2-MLL5 sgRNA 或 lentiCRISPRv2-NTC sgRNA 慢病毒, 并加入终质量浓度 8 μg/mL 慢病毒助感染试剂 polybrene, 混匀后置于 37 °C 培养箱培养 24 h 时换新鲜 RPMI 1640 完全培养基。感染 48 h 时, 加入含有 20 μg/mL 嘧啶霉素的 RPMI 1640 完全培养基, 筛选被感染的细胞。筛选 48 h 后未感染病毒的对照组细胞全部死亡, 消化细胞并利用稀释法接种到 96 孔板, 标记单细胞孔, 待单克隆细胞扩增后检测 MLL5 蛋白的表达, 另外提取单克隆细胞株基因组通过 PCR 扩增 MLL5 sgRNA 靶向基因区域序列进行 Sanger 测序。

利用 MLL5 sgRNA1# 克隆系同上述步骤感染 lentiGuide-BSD-DDX58 sgRNA1#、lentiGuide-BSD-DDX58 sgRNA2# 或 lentiGuide-BSD-NTC sgRNA 病毒, 挑取 MLL5 和 RIG-1 双基因缺失的克隆细胞系用于 MLL5 调控 RIG-1 的研究。

### 1.4 WB 法检测 CT26 细胞中 MLL5、RIG-1 蛋白表达

收集各组细胞, 加入 RIPA 裂解液裂解细胞, 4 °C、12 000×g 离心 15 min 后取上清, 用 BCA 蛋白定量试剂盒测定蛋白浓度。用 10%SDS-PAGE 分离蛋白质, 将蛋白转移至 NC 膜上。5% 脱脂奶粉室温封闭 1 h, 加入 MLL5(1:1 000)、RIG-1(1:1 000) 和 β-actin(1:10 000) 一抗 4 °C 过夜。TBST 洗涤 3 次(10 min/次), 加入羊抗兔 IgG 二抗(1:10 000) 室温下处理 1 h, 洗膜后用 CLX

Odyssey LICOR 双色红外激光成像系统扫描并成像, 利用 Image Studio 软件分析蛋白条带的灰度值。实验重复 3 次。

### 1.5 结肠癌 CT26 细胞移植瘤小鼠模型的建立和观察

BALB/c 小鼠和 NSG 小鼠饲养于 SPF(无特定病原体)级动物房, 温度维持 22 °C, 相对湿度 30%~70%, 人工照明, 昼夜明暗 12 h 交替。所有实验动物相关的操作均经上海市松江区中心医院实验动物伦理委员会审核并批准。

将 NSG 小鼠和 BALB/c 小鼠分别随机分成 3 组: Control sgRNA 组、MLL5 sgRNA1# 组 和 MLL5 sgRNA2# 组, 8 只/组。将 24 只 BALB/c 小鼠随机分为 3 组: Control sgRNA 组、MLL5 sgRNA1#+DDX58 sgRNA1# 组 和 MLL5 sgRNA1#+DDX58 sgRNA2# 组。将处于对数生长期的 CT26 细胞消化制备成细胞悬液, 用不含血清的 RPMI 1640 培养基调整细胞密度为  $2 \times 10^6$  个/mL。取 100 μL 细胞悬液接种到小鼠背部皮下, 每只小鼠细胞接种量为  $2 \times 10^5$  个。从接种第 7 天起, 每 3 d 监测肿瘤块体积一次, 用游标卡尺测量肿

瘤块最长和最短直径, 计算肿瘤体积。肿瘤体积= (瘤体长径×瘤体短径<sup>2</sup>)/2。当最长径达到 15 mm 时达到伦理终点, 将小鼠安乐死, 以获取移植瘤标本。

### 1.6 统计学处理

采用 Origin 9 软件进行统计学分析。符合正态分布的计量数据以  $\bar{x} \pm s$  表示, 两组间比较采用 *t* 检验, 多组间比较采用单因素方差分析, 以  $P < 0.05$  或  $P < 0.01$  表示差异有统计学意义。

## 2 结 果

### 2.1 成功构建敲除 MLL5 基因的 CT26 细胞系

Sanger 测序检测结果(图 1A)显示, MLL5 sgRNA1# 单克隆 CT26 细胞系基因组中 MLL5 基因分别缺失 2 bp 和插入 1 bp; MLL5 sgRNA2# 单克隆分别缺失 4 bp 和 1 bp。WB 法检测结果(图 1B)显示, MLL5 sgRNA1# 和 MLL5 sgRNA2# 单克隆细胞均不表达 MLL5 蛋白。结果表明, 成功构建 MLL5 基因敲除的结肠癌 CT26 细胞系, 可以用于后续实验。

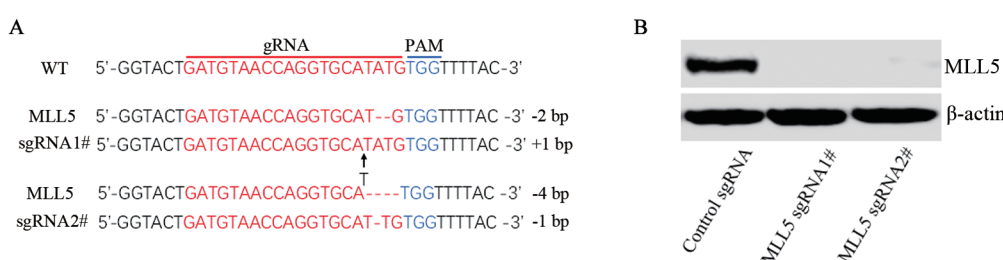


图 1 Sanger 测序(A)和WB 法(B)验证 MLL5 基因敲除效果

### 2.2 MLL5 基因缺失上调 CT26 细胞中 RIG-1 表达水平

WB 实验结果(图 2)显示, MLL5 sgRNA1# 和 MLL5 sgRNA2# 组 CT26 细胞中 RIG-1 水平显著高于 Control sgRNA 组 CT26 细胞(均  $P < 0.01$ )。结果表明, MLL5 基因敲除可显著上调 CT26 细胞中 RIG-1 蛋白的表达水平。

### 2.3 MLL5 基因敲除抑制野生型小鼠 CT26 细胞移植瘤的生长并延长 OS

小鼠荷瘤实验结果显示, 在免疫缺陷 NSG 小鼠中 Control sgRNA 和 MLL5 sgRNA CT26 细胞移植瘤体积比较差异无统计学意义(图 3A), 而在野生型 BALB/c 小鼠中 MLL5 sgRNA1# 和 MLL5 sgRNA2# 组 CT26 细胞移植瘤的体积显著小于 Control sgRNA 组(均  $P < 0.01$ , 图 3B)。同样, MLL5 基因敲除对种植 CT26 细胞的 NSG 小鼠的 OS 无显著影响(图 3C), 而在野生型小鼠中 CT26 细胞敲除 MLL5 基因可以显著延长荷瘤小鼠的 OS 率(图 3D)。实验结果表明, 在小鼠结肠癌 CT26 细胞移植瘤模型中, MLL5 基因敲除可增强野生型小鼠对 CT26 细胞移植瘤的免疫作用。

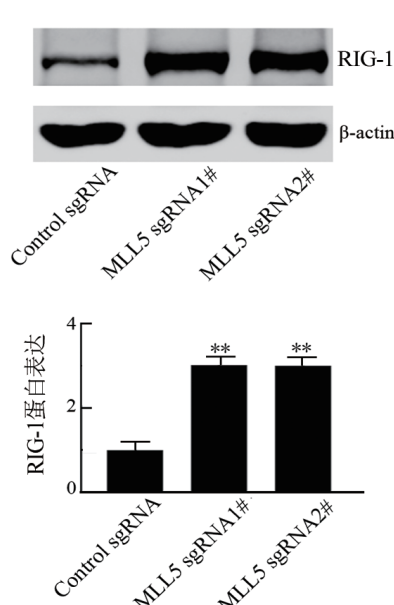


图 2 WB 法检测 MLL5 基因敲除后 CT26 细胞中 RIG-1 蛋白的表达  
与 Control sgRNA 组比较, \*\* $P < 0.01$

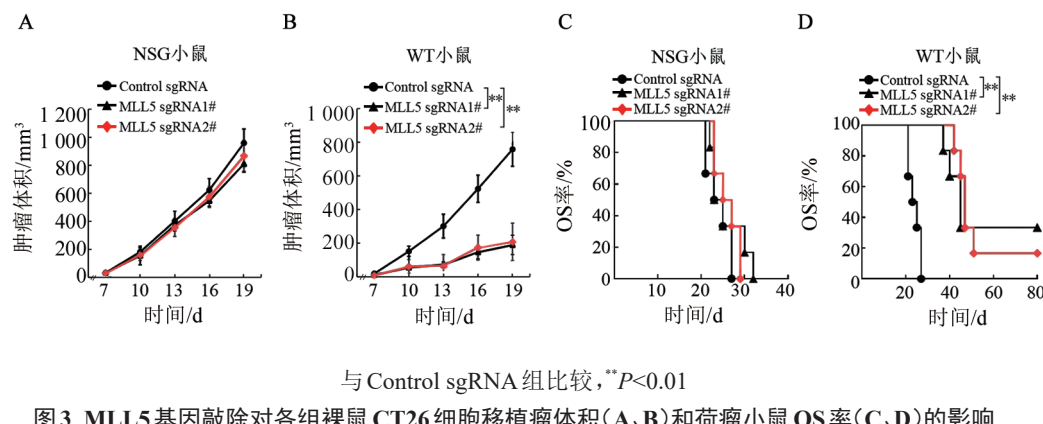


图 3 MLL5 基因敲除对各组裸鼠 CT26 细胞移植瘤体积(A、B)和荷瘤小鼠 OS 率(C、D)的影响

#### 2.4 CT26 细胞缺失 MLL5 增强肿瘤免疫依赖于 RIG-1

MLL5 基因敲除可增强肿瘤免疫而显著抑制野生型 BALB/c 小鼠 CT26 细胞移植瘤的生长和延长荷瘤小鼠的 OS。为验证 MLL5 基因敲除是否通过提高 RIG-1 表达水平而增强肿瘤免疫, 在 MLL5 sgRNA1#CT26 细胞中同时敲除 DDX58 基因后, WB 法检测结果(图 4A)显示, DDX58 sgRNA1# 和 DDX58 sgRNA2# 敲除成功。将 Control sgRNA、

MLL5 和 DDX58 双基因缺失的 CT26 细胞接种于野生型 BALB/c 小鼠, 结果显示 Control sgRNA、MLL5 sgRNA1# + DDX58 sgRNA1# 和 MLL5 sgRNA1# + DDX58 sgRNA2# 三组小鼠 CT26 细胞移植瘤体积和小鼠的 OS 差异比较均无统计学意义(均  $P > 0.05$ , 图 4B、C)。实验结果表明, MLL5 基因敲除增强肿瘤免疫依赖于 RIG-1。

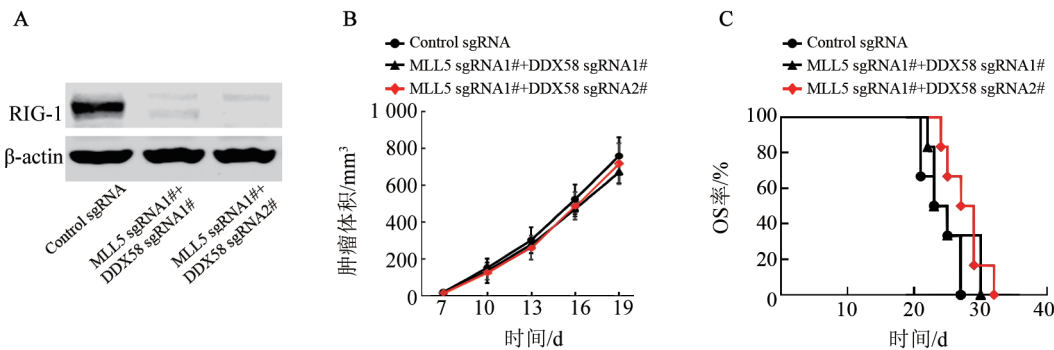


图 4 同时敲除 MLL5 和 DDX58 基因对 RIG-1 表达(A)、CT26 细胞移植瘤体积(B)和荷瘤小鼠 OS 率(C)的影响

### 3 讨 论

结肠癌是消化道中常见的恶性肿瘤之一, 在中国以 41~65 岁人群发病率最高, 其发病率和病死率均呈逐年上升趋势<sup>[12]</sup>。目前结肠癌仍以手术为主, 但复发率高, 初诊已是转移患者的 5 年 OS 率不到 10%<sup>[13]</sup>。近年来, 免疫治疗已成为肿瘤治疗的重要手段, 其中靶向免疫检查点程序性死亡蛋白-1(PD-1)和细胞毒性 T 淋巴细胞相关抗原-4(CTLA-4)已经被证明是一种有效的治疗方法<sup>[14-15]</sup>。临幊上, 抗 PD-1 单抗纳武单抗和派姆单抗被用于治疗结直肠癌患者, 在部分结直肠癌亚型患者中具有较高的免疫应答率<sup>[16-17]</sup>。但是单纯的抑制免疫检查点疗法仅对部分结直肠癌亚型患者表现出良好的免疫应答率, 而大部分患者免疫应答率仍然较低, 因此仍需要研究新的免疫治疗

靶点以降低癌细胞的免疫逃逸和免疫耐受。本研究结果发现, 敲除小鼠结肠癌 CT26 细胞中 MLL5 基因后可以上调 RIG-1 水平, 提高移植瘤的肿瘤免疫, 提示 MLL5 可能成为结肠癌免疫治疗的新靶点。

MLL5 通过促进 RIG-1 降解而加强在宿主抗病毒免疫反应中的负调控作用, 位于细胞质中的 MLL5 通过与 RIG-1 和 RIG-1 的 E3 连接酶 STUB1 结合, 促进 K48 连接多泛素化和 RIG-1 的蛋白酶体降解<sup>[7, 18]</sup>。MLL5 基因缺失减弱了 RIG-1 和 STUB1 之间的相互作用并减少了 K48 连接的多泛素化, 从而增加细胞中 RIG-1 的积累。MLL5 基因缺失促进体内外 INF- $\alpha$ 、促炎细胞因子的产生以及对 RNA 病毒的天然抗病毒免疫应答<sup>[19]</sup>; 在病毒感染后, MLL5 从细胞核转移到细胞质中, 以诱导 STUB1 介导的 RIG-I 降解<sup>[7]</sup>。本研究结果发现, MLL5 基因缺失后小鼠结肠癌 CT26 细

胞中 RIG-1 水平显著提高, 其通过增强肿瘤免疫而抑制 CT26 细胞移植瘤的生长。

在 NSG 小鼠中, MLL5 基因缺失和野生型小鼠结肠癌 CT26 细胞移植瘤的生长速度以及荷瘤小鼠的 OS 比较差异无统计学意义, 说明 MLL5 基因缺失对 CT26 细胞的增殖没有显著性影响。在免疫系统正常的野生型小鼠中, MLL5 基因缺失的结肠癌 CT26 细胞移植瘤的生长速度显著低于野生型细胞移植瘤, 同样 MLL5 基因缺失的 CT26 细胞荷瘤小鼠的 OS 显著延长, 说明 MLL5 基因缺失的抗肿瘤作用依赖于小鼠免疫系统。然而, MLL5 和 RIG-1 双基因缺失后又显著逆转 MLL5 基因缺失的作用, 因此 MLL5 基因缺失通过上调 RIG-1 水平而增强野生型小鼠对 CT26 细胞移植瘤的免疫作用。

综上所述, 本研究发现 MLL5 基因缺失可上调结肠癌 CT26 细胞中 RIG-1 水平, 增强野生型小鼠肿瘤免疫、抑制移植瘤生长并延长荷瘤小鼠 OS。本研究采用的 MLL5 基因缺失的 CT26 细胞仅在 NSG 小鼠和 BALB/c 野生型小鼠中验证, 未能在 MLL5 基因缺失的小鼠中验证。因此 MLL5 能否成为结肠癌治疗的新靶点还需进一步研究。

## [参考文献]

- [1] HEUSER M, YUN H Y, THOL F. Epigenetics in myelodysplastic syndromes[J/OL]. Semin Cancer Biol, 2018, 51: 170-179[2021-05-09]. <https://www.ncbi.nlm.nih.gov/pmc/articles/PMC7116652/>. DOI:10.1016/j.semancer.2017.07.009.
- [2] ZHANG X M, NOVERA W, ZHANG Y, et al. MLL5 (KMT2E): structure, function, and clinical relevance[J]. Cell Mol Life Sci, 2017, 74(13): 2333-2344. DOI:10.1007/s00018-017-2470-8.
- [3] ZHANG Y, WONG J, KLINGER M, et al. MLL5 contributes to hematopoietic stem cell fitness and homeostasis[J/OL]. Blood, 2009, 113(7): 1455-1463[2021-05-09]. <https://www.ncbi.nlm.nih.gov/pmc/articles/PMC2644073/>. DOI:10.1182/blood-2008-05-159905.
- [4] HEUSER M, YAP D B, LEUNG M, et al. Loss of MLL5 results in pleiotropic hematopoietic defects, reduced neutrophil immune function, and extreme sensitivity to DNA demethylation[J]. Blood, 2009, 113(7): 1432-1443. DOI:10.1182/blood-2008-06-162263.
- [5] MADAN V, MADAN B, BRYK CZYNSKA U, et al. Impaired function of primitive hematopoietic cells in mice lacking the Mixed-Lineage-Leukemia homolog MLL5[J]. Blood, 2009, 113(7): 1444-1454. DOI:10.1182/blood-2008-02-142638.
- [6] GALLO M, COUTINHO F J, VANNER R J, et al. MLL5 orchestrates a cancer self-renewal state by repressing the histone variant H3.3 and globally reorganizing chromatin[J]. Cancer Cell, 2015, 28(6): 715-729. DOI:10.1016/j.ccr.2015.10.005.
- [7] ZHOU P P, DING X D, WAN X L, et al. MLL5 suppresses antiviral innate immune response by facilitating STUB1-mediated RIG-I degradation[J/OL]. Nat Commun, 2018, 9(1): 1243[2021-05-09]. <https://www.ncbi.nlm.nih.gov/pmc/articles/PMC5871759/>. DOI:10.1038/s41467-018-03563-8.
- [8] HEIDEGGER S, WINTGES A, STRITZKE F, et al. RIG-I activation is critical for responsiveness to checkpoint blockade[J/OL]. Sci Immunol, 2019, 4(39): eaau8943[2021-05-09]. <https://www.science.org/doi/10.1126/sciimmunol.aau8943>. DOI:10.1126/sciimmunol.aau8943.
- [9] RUZICKA M, KOENIG L M, FORMISANO S, et al. RIG-I-based immunotherapy enhances survival in preclinical AML models and sensitizes AML cells to checkpoint blockade[J/OL]. Leukemia, 2020, 34(4): 1017-1026[2021-05-09]. <https://www.ncbi.nlm.nih.gov/pmc/articles/PMC7214254/>. DOI:10.1038/s41375-019-0639-x.
- [10] JACOBSON M E, WANG-BISHOP L, BECKER K W, et al. Delivery of 5'-triphosphate RNA with endosomolytic nanoparticles potently activates RIG-I to improve cancer immunotherapy[J]. Biomater Sci, 2019, 7(2): 547-559. DOI:10.1039/c8bm01064a.
- [11] 李蕊, 杨柳, 李金洁, 等. 通过 CRISPR/Cas9 技术抑制 TFDP3 基因对前列腺癌 PC3 细胞生物学功能的影响[J]. 中国肿瘤生物治疗杂志, 2021, 28(5):443-450. DOI: 10.3872/j.issn.1007-385X.2021.05.004.
- [12] 张宇涛. 结直肠癌的治疗进展[J]. 山西医药杂志, 2020, 49(5): 535-536. DOI:10.3969/j.issn.0253-9926.2020.05.012.
- [13] CHEN W, ZHENG R, BAADE P D, et al. Cancer statistics in China, 2015[J]. CA Cancer J Clin, 2016, 66(2): 115-132. DOI: 10.3322/caac.21338.
- [14] 陈功. 2019 年结直肠癌治疗进展盘点[J]. 肿瘤综合治疗电子杂志, 2020, 6(1): 80-89. DIO:10.12151/JMCM.2020.01-10.
- [15] 顾炎, 曹雪涛. 肿瘤免疫与免疫治疗: 机遇与挑战[J]. 中国肿瘤生物治疗杂志, 2021, 28(1):1-10. DOI:10.3872/j.issn.1007-385X. 2021. 01.001.
- [16] LE D T, DURHAM J N, SMITH K N, et al. Mismatch repair deficiency predicts response of solid tumors to PD-1 blockade [J/OL]. Science, 2017, 357(6349): 409-413[2021-05-09]. <https://www.ncbi.nlm.nih.gov/pmc/articles/PMC5576142/>. DOI: 10.1126/science.aan6733.
- [17] OVERMAN M J, MCDERMOTT R, LEACH J L, et al. Nivolumab in patients with metastatic DNA mismatch repair-deficient or microsatellite instability-high colorectal cancer (CheckMate 142): an open-label, multicentre, phase 2 study[J/OL]. Lancet Oncol, 2017, 18(9): 1182-1191[2021-05-09]. <https://www.ncbi.nlm.nih.gov/pmc/articles/PMC6207072/>. DOI:10.1016/S1470-2045(17)30422-9.
- [18] ZHAO K, ZHANG Q, LI X, et al. Cytoplasmic STAT4 promotes antiviral type I IFN production by blocking CHIP-mediated degradation of RIG-I[J]. J Immunol, 2016, 196(3): 1209-1217. DOI: 10.4049/jimmunol.1501224.
- [19] KHAN M I, NUR S M, ADHAMU V, et al. Epigenetic regulation of RNA sensors: Sentinels of immune response[J/OL]. Semin Cancer Biol, 2021: S1044-579X(21)00009-2[2021-05-09]. <https://www.sciencedirect.com/science/article/abs/pii/S1044579X21000092?via%3Dihub>. DOI: 10.1016/j.semancer.2020.12.028.

[收稿日期] 2021-07-10

[修回日期] 2021-11-28

[本文编辑] 党瑞山